

# Graph Representation

2021 연구실 동계 세미나

김기남

*Vision & Display Systems Lab.*

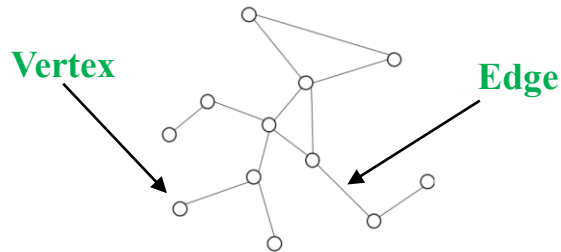
*Dept. of Electronic Engineering, Sogang University*

# Outline

- GNN(Graph Neural Network)
- Graph Representation
- 개인 연구 주제
- References

# GNN(Graph Neural Network)

- What is Graph data?
  - Graph data
    - Edge and Vertex



$$G = (V, E)$$

- GNN's task
  - Node classification
  - Link prediction
  - Clustering
  - Anomaly detection

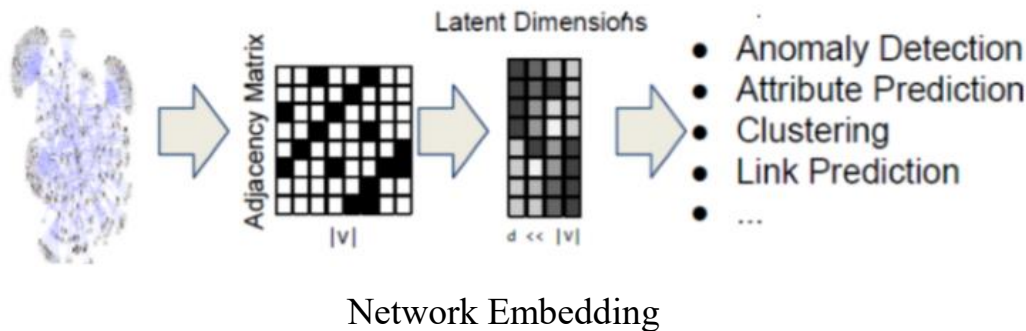
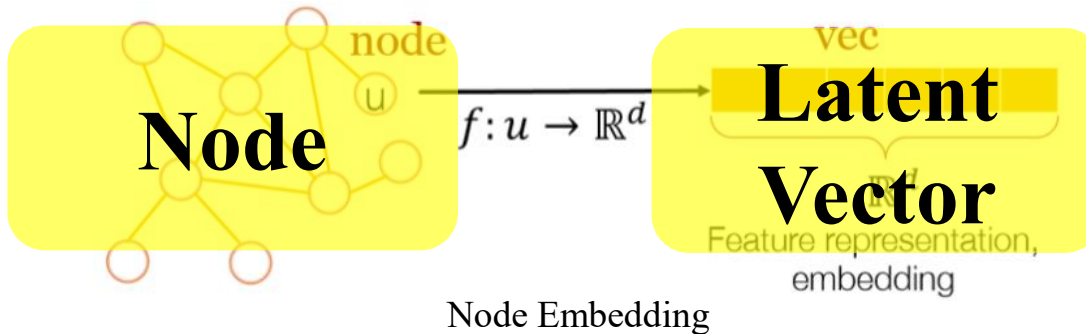
# Graph Representation

- Graph representation?

- Graph의 각 node를 feature로 표현하는 것

- Graph를 벡터나 벡터의 집합으로 표현

- Embedding을 통해 low-dimension space에 각 node를 mapping하여 낮은 차원의 latent matrix 생성



# Graph Representation

- Why we need graph representation?

- 기존의 Deep Learning 기법을 직접 적용하는데 한계가 존재

- CNN, RNN 등을 위해 고안된 기존의 방법들은 대체로 Euclidean 데이터 타입(ex. Grid)

- ※ Grid의 경우 근접한 픽셀들끼리 연관이 있다는(Locality) 가정 가능

- Graph 구조는 위상적 구조에 따라 구분되기 때문에 복잡한 데이터 타입

- ※ 이미지의 경우 회전, 왜곡 등을 통해 변형되지만, Graph의 위상적인 구조는 변하지 않음

- Embedded Latent vector 를 통해 기존의 deep learning 기법 적용 가능

- Low-Dimension 으로의 node feature mapping 을 통해 연산량 감소

- Graph 의 Node 수가 많아지거나, Node feature 의 수가 많을 경우 연산량이 기하급수적으로 증가

- 임베딩된 vector 끼리의 연산으로 간단하고 빠른 연산 가능

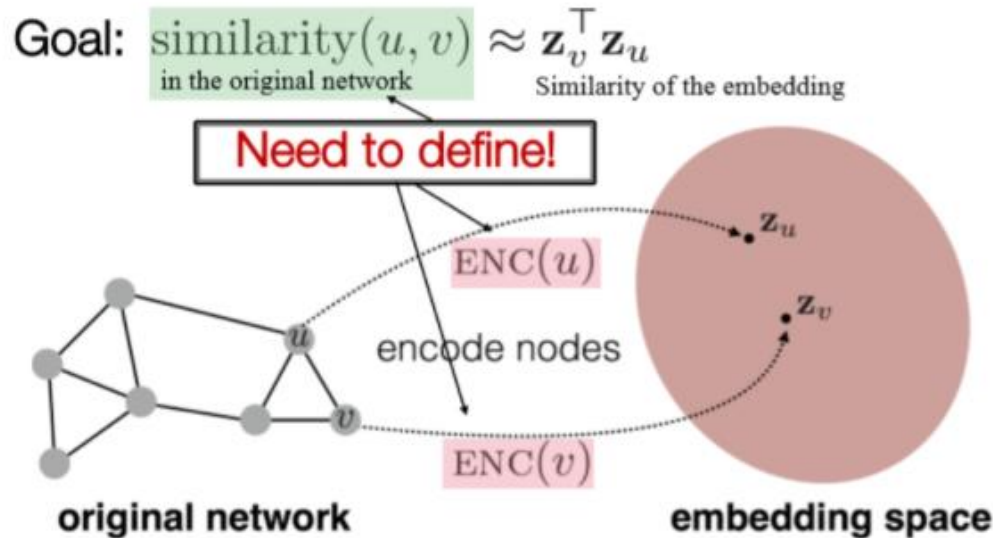
$$Z = f(X, A) = \text{softmax}(\hat{A} \text{ReLU}(\hat{A}XW^0)W^1)$$

Layer 2

Layer 1

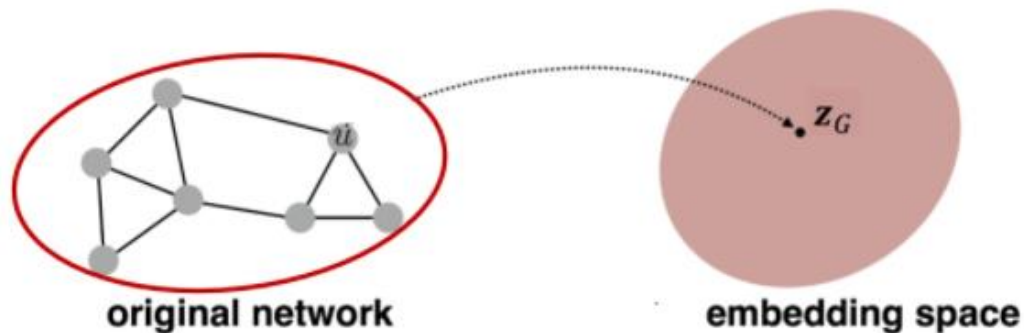
# Graph Representation

- Challenge of Graph Representation
  - Embedding 이 Graph 의 성질을 잘 나타내야 함
    - GCN 전체 성능이 embedding 자체의 성능에 큰 영향을 받는 경우가 많음.
    - Graph 의 연결 상태, 주변 구조 표현
    - Original Graph 에서의 similarity 가 Embedding space 상에서도 유사하여야 함.



# Graph Representation

- Graph Representation Method
  - Node Embedding
    - Random-walk[1]
    - Node2Vec[2]
    - Variational Graph Autoencoder[3]
    - Graph Projection – Reprojection structure[4]
  - Graph Embedding



Graph Embedding example

# Graph Representation

- Node Embedding – Variational Graph Auto-Encoder[3]
  - Variational Auto-Encoder(VAE) 구조를 Graph에 적용
  - 입력으로 Node feature  $X$ 와 Adjacency Matrix  $A$ 를 사용하여 Node 의 분포를 학습
    - 2 layers 구조로 첫번째 layer 에서  $\mu$ 를 추출하고, 두번째 layer에서  $\log\sigma^2$ 을 추출하여 latent vector  $Z$  생성
    - 생성된  $Z$ 를 inner product 하여 Adjacency Matrix 로 decoding

$$\mu = GCN_{\mu}(X, A) = \tilde{A}\bar{X}W_1$$

$$\log\sigma^2 = GCN_{\sigma}(X, A) = \tilde{A}\bar{X}W_1$$

$$Z = \mu + \sigma * \epsilon$$

$$GCN(X, A) = \tilde{A}ReLU(\tilde{A}XW_0)W_1$$



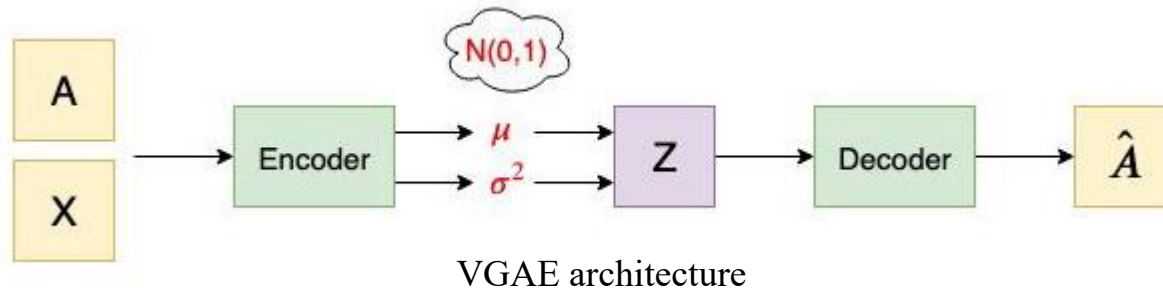
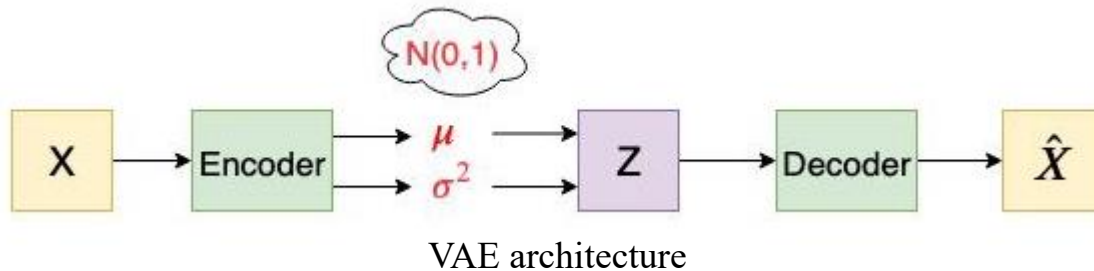
# Graph Representation

- Node Embedding – Variational Graph Auto-Encoder

- Graph Auto-Encoder

- Variational Graph Auto-Encoder(VGAE)와는 다르게 1 layer 구조로 latent vector  $Z$ 를 GCN 을 통해 바로 추출

$$\hat{A} = \sigma(ZZ^T), \text{ with } Z = \text{GCN}(X, A)$$



# Graph Representation

- Node Embedding – Variational Graph Auto-Encoder

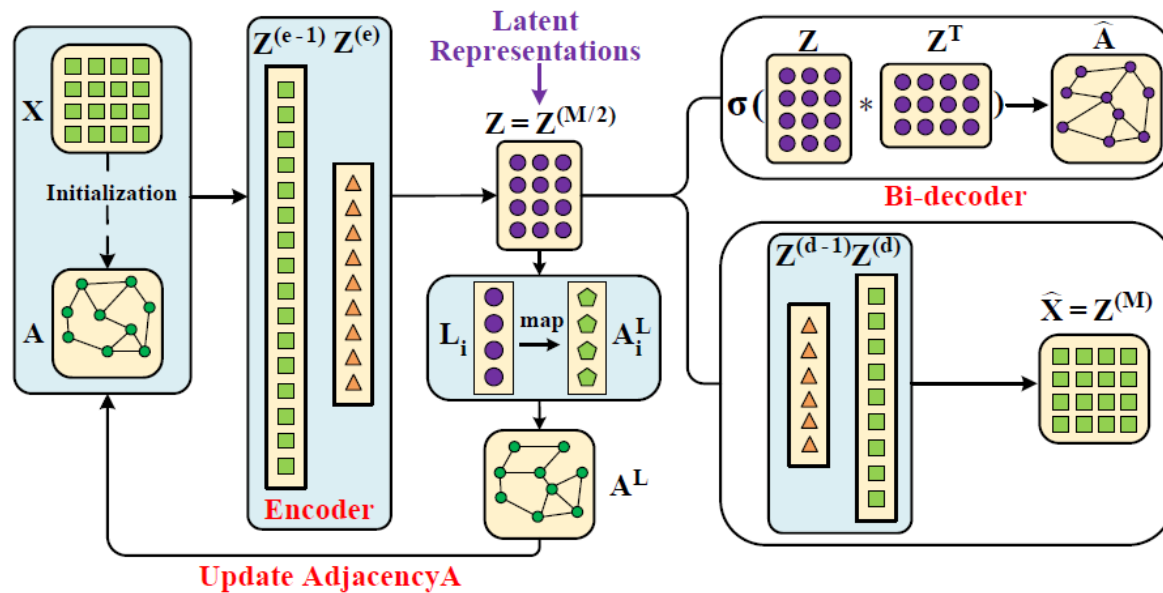
- Experimental Result

- Input feature 를 함께 사용하였을 때 성능이 훨씬 높아지는 것을 확인

| Method | Cora               |                    | Citeseer           |                    | Pubmed             |                    |
|--------|--------------------|--------------------|--------------------|--------------------|--------------------|--------------------|
|        | AUC                | AP                 | AUC                | AP                 | AUC                | AP                 |
| SC [5] | 84.6 ± 0.01        | 88.5 ± 0.00        | 80.5 ± 0.01        | 85.0 ± 0.01        | 84.2 ± 0.02        | 87.8 ± 0.01        |
| DW [6] | 83.1 ± 0.01        | 85.0 ± 0.00        | 80.5 ± 0.02        | 83.6 ± 0.01        | 84.4 ± 0.00        | 84.1 ± 0.00        |
| GAE*   | 84.3 ± 0.02        | 88.1 ± 0.01        | 78.7 ± 0.02        | 84.1 ± 0.02        | 82.2 ± 0.01        | 87.4 ± 0.00        |
| VGAE*  | 84.0 ± 0.02        | 87.7 ± 0.01        | 78.9 ± 0.03        | 84.1 ± 0.02        | 82.7 ± 0.01        | 87.5 ± 0.01        |
| GAE    | 91.0 ± 0.02        | 92.0 ± 0.03        | 89.5 ± 0.04        | 89.9 ± 0.05        | <b>96.4 ± 0.00</b> | <b>96.5 ± 0.00</b> |
| VGAE   | <b>91.4 ± 0.01</b> | <b>92.6 ± 0.01</b> | <b>90.8 ± 0.02</b> | <b>92.0 ± 0.02</b> | 94.4 ± 0.02        | 94.7 ± 0.02        |

# Graph Representation

- Graph Convolutional Auto-encoder with Bi-decoder and Adaptive-sharing Adjacency (BAGE)[5]
  - VGAE 의 Decoder 에서 Adjacency Matrix와 Node feature X까지 decoding 하도록 변형
  - Adaptive-sharing Adjacency Matrix 적용



# Graph Representation

- Graph Convolutional Auto-encoder with Bi-decoder and Adaptive-sharing Adjacency (BAGE)[5]

- Node feature 까지 decoding 하게 학습함으로써 정확한 Latent vector 추정
  - Overfitting 방지
- Adaptive-sharing Adjacency Matrix
  - Latent vector 로부터 Adjacency matrix 를 추정하여 update 하여 사용
    - ※ Prior Adjacency Matrix 가 정확하지 않은 연결 관계를 나타내는 등의 오염된 부분이 있을 때 이를 optimization 할 수 있음
    - ※ 네트워크가 prior adjacency information 에 대해 높은 의존도를 갖지 않도록 학습 가능
  - Adaptive-sharing Adjacency Matrix 는 Backpropagation 하여 추정하지 않음
    - ※ Backpropagation 을 통한 adjacency matrix 추정은 오히려 meaningless 한 matrix 생성
    - ※ 추정된 각 node latent vector 의 distance 에 Lagrange equation 과 KKT(Karush-Kuhn-Tucker) condition 을 적용하여 adjacency matrix 추정

$$\min_{\mathbf{A}} \sum_{i,j=1}^n \left( \|\mathbf{z}_i - \mathbf{z}_j\|_2^2 a_{ij} + \gamma_i a_{ij}^2 \right)$$
$$\text{s.t. } \mathbf{a}_i^T \mathbf{1} = 1, 0 \leq \mathbf{a}_i \leq 1.$$

# Graph Representation

- Graph Convolutional Auto-encoder with Bi-decoder and Adaptive-sharing Adjacency (BAGE)[5]
  - Experimental Results

| Methods    |     | Ours         | Ours-NA      | CAN          | GAE          | SAE   | RWL-AN       | <i>k</i> -means |
|------------|-----|--------------|--------------|--------------|--------------|-------|--------------|-----------------|
| Cora-P     | ACC | <b>48.49</b> | 42.64        | 30.13        | <u>47.14</u> | \     | \            | \               |
|            | NMI | <b>32.09</b> | 19.87        | 10.79        | <u>27.24</u> | \     | \            | \               |
| Citeseer-P | ACC | <b>48.21</b> | 34.54        | 21.17        | <u>38.94</u> | \     | \            | \               |
|            | NMI | <b>21.71</b> | 9.99         | 10.56        | <u>13.11</u> | \     | \            | \               |
| COIL       | ACC | <b>68.69</b> | 66.62        | <u>68.52</u> | \            | 66.75 | 63.66        | 65.53           |
|            | NMI | <u>81.20</u> | 79.99        | <b>81.79</b> | \            | 76.24 | 71.26        | 79.11           |
| FEI        | ACC | 42.01        | <u>43.66</u> | <b>45.14</b> | \            | 36.45 | 35.10        | 38.84           |
|            | NMI | 73.40        | <u>74.02</u> | <b>74.48</b> | \            | 70.35 | 69.17        | 72.28           |
| IMM        | ACC | <b>64.96</b> | <u>63.47</u> | 46.00        | \            | 54.46 | 49.91        | 57.71           |
|            | NMI | <b>80.82</b> | 74.27        | 71.49        | \            | 75.74 | 72.89        | <u>77.92</u>    |
| YALEB      | ACC | <b>58.31</b> | 51.94        | 15.31        | \            | 46.94 | <u>53.58</u> | 51.78           |
|            | NMI | <b>74.99</b> | <u>69.50</u> | 29.03        | \            | 64.72 | 66.80        | 61.38           |

# Graph Representation

- Node Embedding – Graph Projection – Reprojection structure

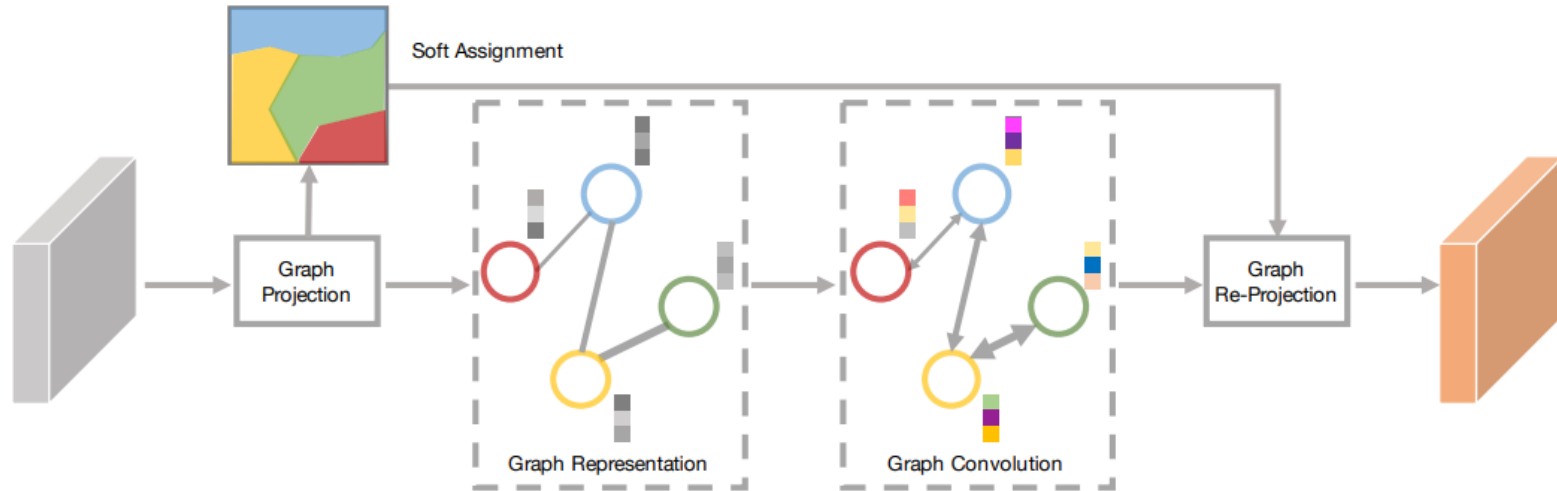
## Beyond Grids: Learning Graph Representations for Visual Recognition[4]

- 이전의 GCN은 Graph 구조의 data 를 위한 구조
  - ex) Semi-supervised clustering, Unsupervised clustering ...
- 이미지와 같이 Pixel 단위로 이루어져 있는 data 에 대해 GCN 구조 적용이 어려움
- Pixel로 구성되어 있는 data를 Graph space 로 projection 하고, 이 data 를 GCN을 통한 계산 후 다시 pixel domain 으로 reprojection
- 기존 네트워크 대비 semantic segmentation, object detection, object instance segmentation 에서 SOTA 달성
  - Local region 의 information 만 활용하였던 기존의 CNN models와 달리 global region 에 대한 information 활용 가능

# Graph Representation

- Node Embedding – Graph Projection – Reprojection structure

Beyond Grids: Learning Graph Representations for Visual Recognition



# Graph Representation

- Node Embedding – Graph Projection – Reprojection structure

## Beyond Grids: Learning Graph Representations for Visual Recognition

- Graph Projection

- Pixel-to-vertex assignment

※ 비슷한 Feature 를 가진 pixel 들을 하나의 vertex 로 assign

$$q_{ij}^k = \frac{\exp(-\|(x_{ij} - w_k)/\sigma_k\|_2^2/2)}{\sum_k \exp(-\|(x_{ij} - w_k)/\sigma_k\|_2^2/2)} \quad \sum_k q_{ij}^k = 1.$$

- Encoding

※ 각 vertex 에서 assign 된 pixel information 을 latent vector 로 encoding

$$z_k = \frac{z'_k}{\|z'_k\|_2}, \quad z'_k = \frac{1}{\sum_{ij} q_{ij}^k} \sum_{ij} q_{ij}^k (x_{ij} - w_k) / \sigma_k$$

- Adjacency Matrix

※ Encoding 된 latent vector Z에서 Adjacency Matrix 추출

$$A = Z^T Z$$



# Graph Representation

- Node Embedding – Graph Projection – Reprojection structure

Beyond Grids: Learning Graph Representations for Visual Recognition

- Graph Convolution Network

- 일반적인 GCN 적용

$$\tilde{Z} = f(AZ^T W_g)$$

- Graph Reprojection

- Vertex-to-pixel

※ Graph projection 시에 구하였던 assignment matrix  $Q$ 를 이용하여 reprojection

$$\tilde{X} = Q\tilde{Z}^T$$

# Graph Representation

- Node Embedding – Graph Projection – Reprojection structure

## Beyond Grids: Learning Graph Representations for Visual Recognition

### Experimental Results

- Semantic segmentation



| Backbone    | Method          | PixAcc% | mIoU%        |
|-------------|-----------------|---------|--------------|
| VGG16 [42]  | FCN-8s [12]     | 71.32   | 29.39        |
|             | SegNet [41]     | 71.00   | 21.64        |
|             | DilatedNet [17] | 73.55   | 32.31        |
|             | CascadeNet [37] | 74.52   | 34.90        |
| Res50 [38]  | Dilated FCN     | 76.51   | 35.60        |
|             | PSPNet [13]     | 80.76   | <b>42.78</b> |
|             | EncNet [14]     | 79.73   | 41.11        |
|             | GCU (ours)      | 79.51   | <b>42.60</b> |
| Res101 [38] | RefineNet [19]  | -       | 40.20        |
|             | PSPNet [13]     | 81.39   | 43.29        |
|             | EncNet [14]     | 81.69   | <b>44.65</b> |
|             | GCU (ours)      | 81.19   | <b>44.81</b> |

# Graph Representation

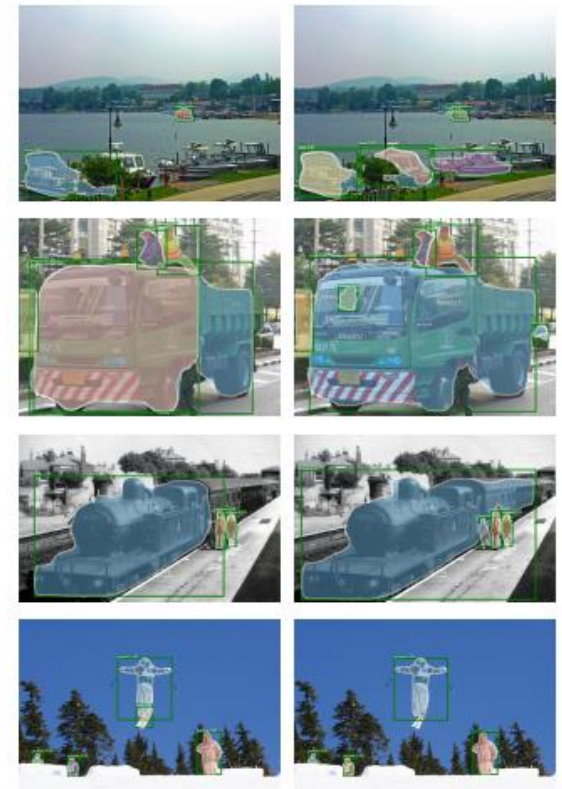
- Node Embedding – Graph Projection – Reprojection structure

## Beyond Grids: Learning Graph Representations for Visual Recognition

- Experimental Results

- Object instance segmentation

| Backbone        | Method                        | AP <sup>box</sup> | AP <sub>50</sub> <sup>box</sup> | AP <sub>75</sub> <sup>box</sup> | AP <sup>seg</sup> | AP <sub>50</sub> <sup>seg</sup> | AP <sub>75</sub> <sup>seg</sup> |
|-----------------|-------------------------------|-------------------|---------------------------------|---------------------------------|-------------------|---------------------------------|---------------------------------|
| ResNet 50 [38]  | Mask RCNN [15, 20]            | 38.0              | 59.6                            | 41.0                            | 34.6              | 56.4                            | 36.5                            |
|                 | Mask RCNN + NL [20]           | <b>39.0</b>       | 61.1                            | 41.9                            | <b>35.5</b>       | 58.0                            | 37.4                            |
|                 | Mask RCNN(Detectron) [15, 44] | 37.7              | 59.2                            | 40.9                            | 33.9              | 55.8                            | 35.8                            |
|                 | Mask RCNN(Detectron) + GCU    | <b>38.7</b>       | 60.5                            | 41.7                            | 34.7              | 57.2                            | 36.5                            |
| ResNet 101 [38] | Mask RCNN [15, 20]            | 39.5              | 61.3                            | 42.9                            | 36.0              | 58.1                            | 38.3                            |
|                 | Mask RCNN + NL [20]           | <b>40.8</b>       | 63.1                            | 44.5                            | <b>37.1</b>       | 59.9                            | 39.2                            |
|                 | Mask RCNN(Detectron) [15, 44] | 40.0              | 61.8                            | 43.7                            | 35.9              | 58.3                            | 38.0                            |
|                 | Mask RCNN(Detectron) + GCU    | <b>41.1</b>       | 63.2                            | 44.9                            | <b>36.9</b>       | 59.8                            | 39.0                            |



# Graph Representation

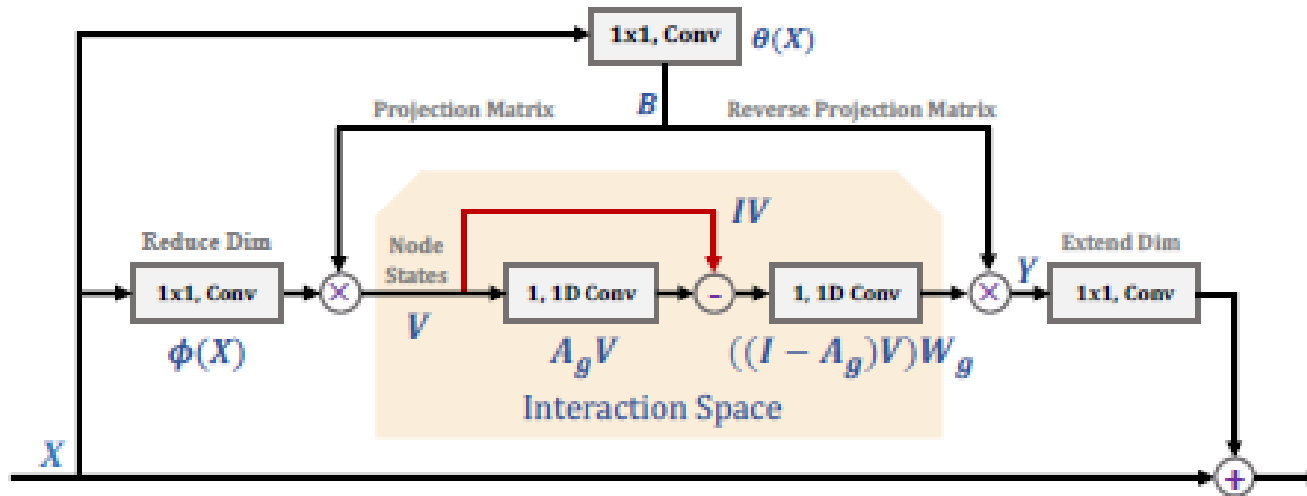
- Node Embedding – Graph Projection – Reprojection structure

## Graph-Based Global Reasoning Networks [6]

- Pixel to Vertex Projection 방법을 CNN을 적용

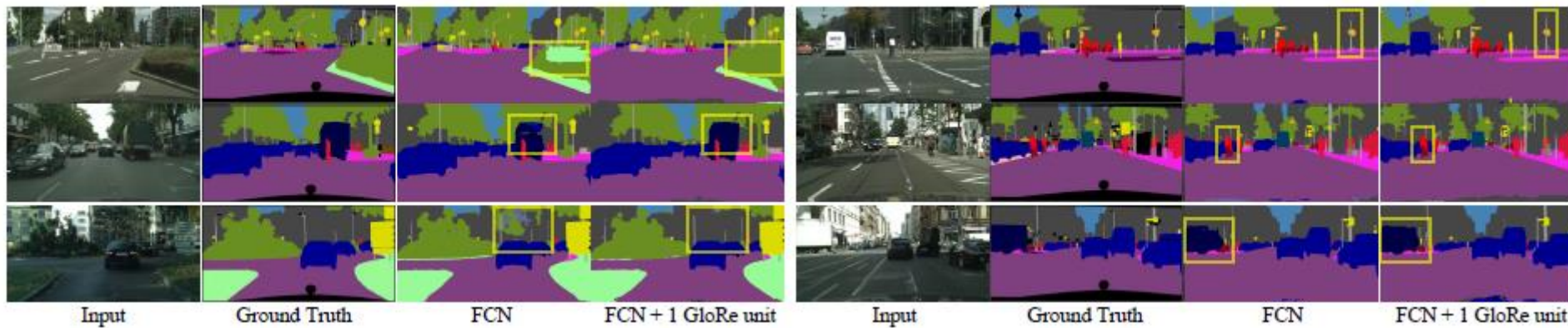
- 1x1 Conv 을 통해 projection matrix 추정

※ 추정된 projection matrix 를 이용하여 projection 및 reprojection 진행



# Graph Representation

- Node Embedding – Graph Projection – Reprojection structure  
Graph-Based Global Reasoning Networks [6]
  - Experimental Results

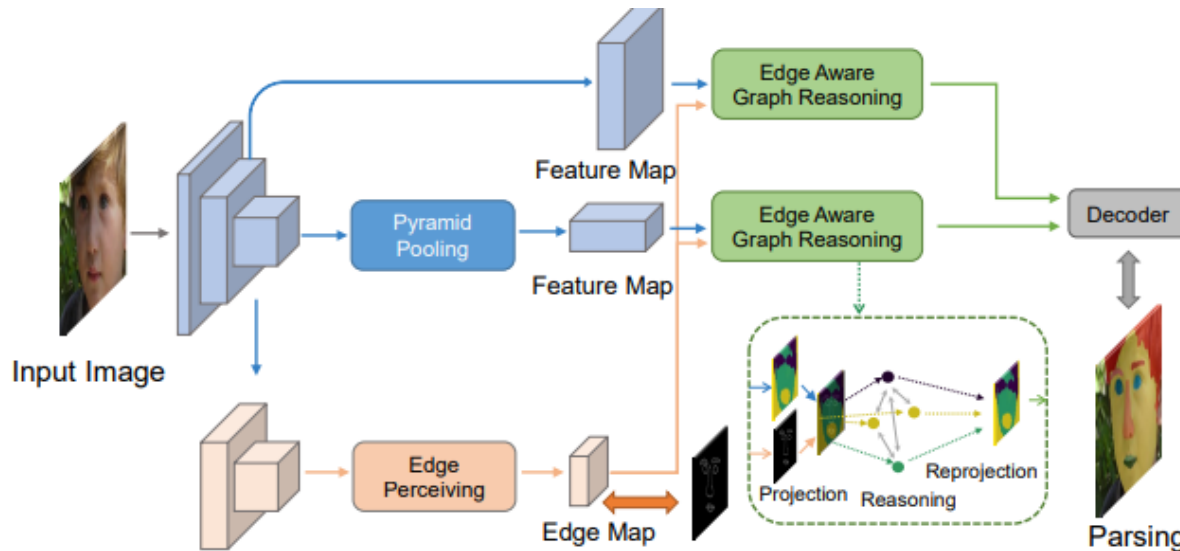


# Graph Representation

- Node Embedding – Graph Projection – Reprojection structure

## Edge-aware Graph Representation Learning and Reasoning for Face Parsing [7]

- Face Parsing 에 GCN 적용
- Backbone feature 에서 face parsing feature map 과 edge 를 각자 추출하고, 이를 Attention mechanism 을 적용한 graph projection 알고리즘에 적용하여 성능 향상



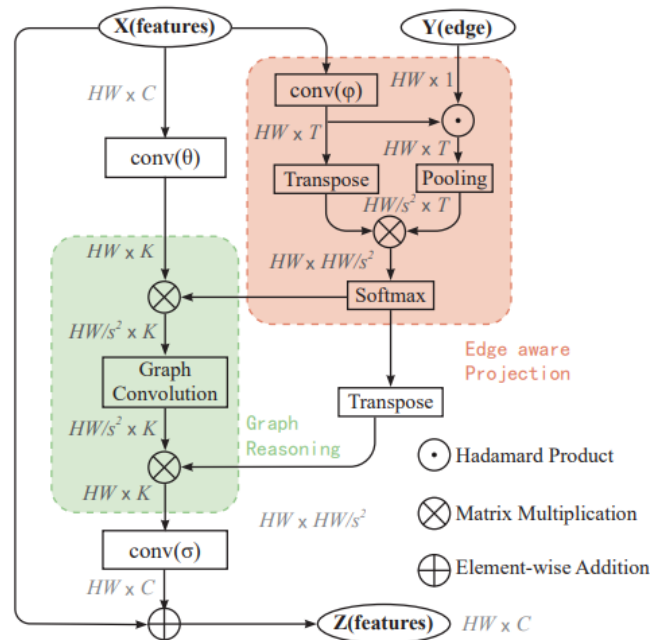
# Graph Representation

- Node Embedding – Graph Projection – Reprojection structure

## Edge-aware Graph Representation Learning and Reasoning for Face Parsing [7]

- Edge-aware Graph Reasoning module

- Edge pixels 에 더 큰 weight 적용



# Graph Representation

- Node Embedding – Graph Projection – Reprojection structure  
Edge-aware Graph Representation Learning and Reasoning for Face Parsing [7]
  - Experimental Results





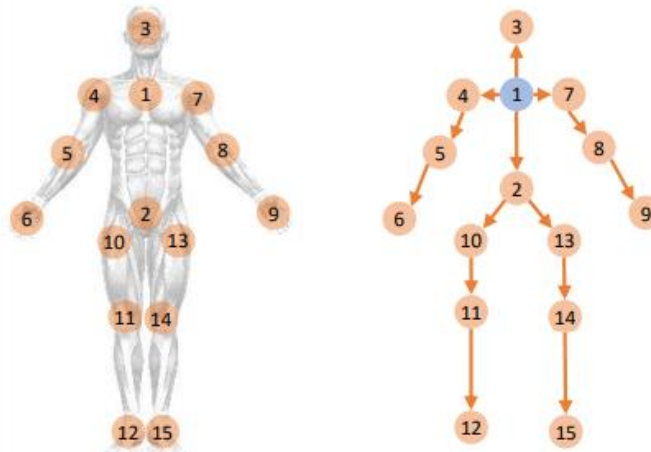
# 개인 연구 주제

- Pose Refinement with GCN

- Human pose estimation 은 대표적인 graph structure 의 data

- CNN 기반의 Pose estimation model 에서 추정된 Keypoints 를 Node feature 로 하여 GCN 적용 후 성능 향상을 목표로 함.

- ※ 인접한 Keypoints 정보를 aggregation 하여 잘못 추정된 Keypoints 위치 수정



# 개인 연구 주제

- Pose Refinement with GCN
  - Graph Projection – Reprojection 구조 적용
    - Pixel 단위로 표현되어 있는 human pose heatmap 을 Graph space 로 projection
    - Reprojection 시 Ground Truth heatmap 과의 L2 loss를 통해 [5]와 같이 Node feature reconstruction 까지 학습



# 개인 연구 주제

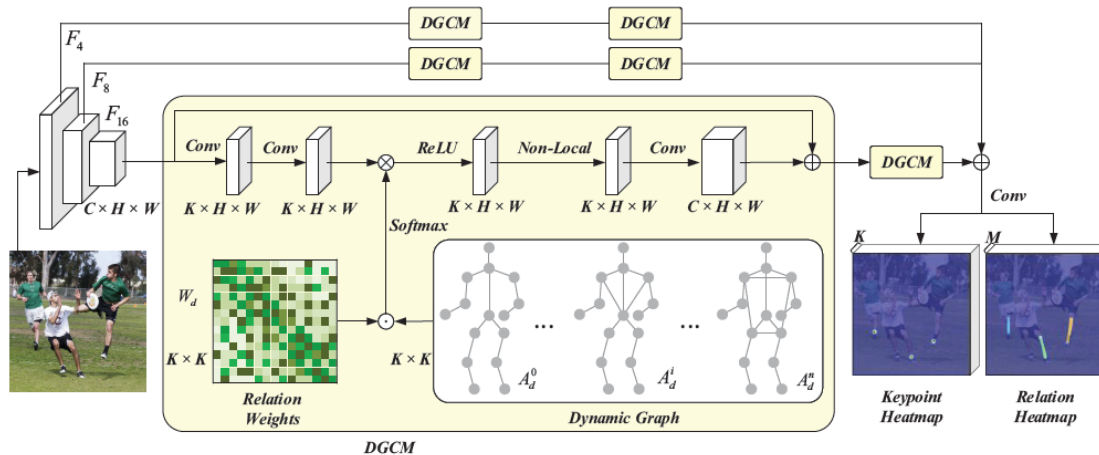
- Pose Refinement with GCN

- Graph Auto-Encoder 를 통한 Adaptive adjacency matrix 적용

- Human pose 는 prior adjacency matrix 가 존재하지만 pose estimation 시 prior adjacency matrix 가 아닌 dynamic adjacency matrix 를 적용하였을 때 성능 향상 확인(DGCN[8])

- ※ Edge 는 실제 물리적인 연결 뿐만 아니라 연결되지 않은 Edge 를 통해서도 Keypoints 에 영향을 줄 수 있음.

- ※ 실제 inference 시 image 내에 존재하지 않는 Keypoints 가 있어 기존의 prior adjacency matrix 는 [5] 에서 말한 Polluted adjacency matrix 라고 할 수 있음.



# 개인 연구 주제

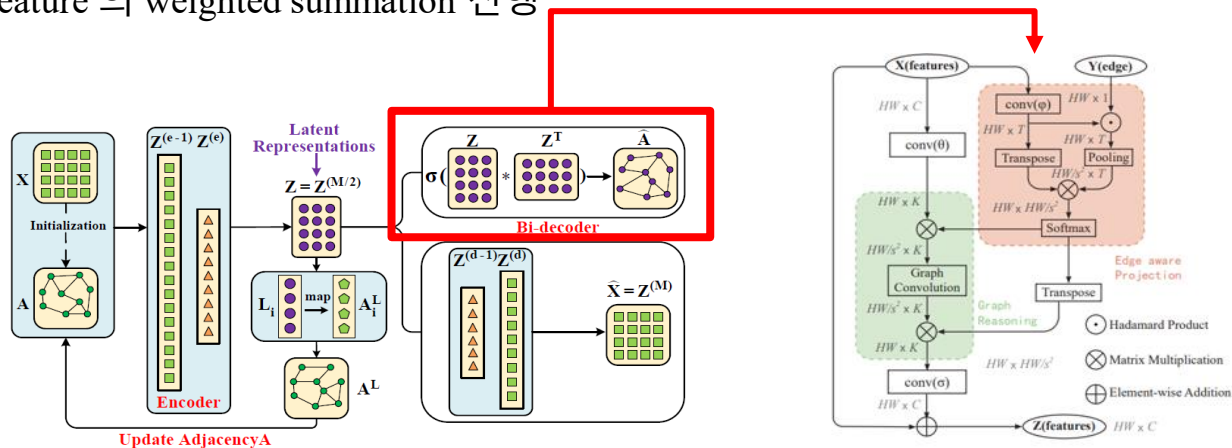
## • Pose Refinement with GCN

### ▪ Adaptive adjacency matrix 적용

- GAE 를 통한 latent vector 로 adaptive adjacency matrix 를 적용하여 실제 image 내에 존재하는 human object 에 맞는 adjacency matrix 구축
- Bi-decoding 시 Adjacency matrix 의 GT는 prior adjacency matrix 에서 GT 상에 존재하지 않는 point 에 해당되는 값만 0으로 가정

### ▪ 추정된 Adaptive adjacency matrix 기반 Attention mechanism 적용

- Node 간의 feature 를 aggregation 하기 적합하게 추정된 adaptive adjacency matrix를 통해 node feature 의 weighted summation 진행



# References

- [1] Perozzi, B., Al-Rfou, R., & Skiena, S. (2014, August). Deepwalk: Online learning of social representations. In *Proceedings of the 20th ACM SIGKDD international conference on Knowledge discovery and data mining* (pp. 701-710). ACM.
- [2] Grover, A., & Leskovec, J. (2016, August). node2vec: Scalable feature learning for networks. In *Proceedings of the 22nd ACM SIGKDD international conference on Knowledge discovery and data mining* (pp. 855-864). ACM.
- [3] T. N. Kipf and M. Welling, Variational graph auto-encoders, *Proc. NIPS Workshop Bayesian Deep Learn.*, pp. 1-3, 2016.
- [4] Y. Li and A. Gupta. Beyond grids: Learning graph representations for visual recognition. In *NeurIPS*, pages 9245–9255, 2018.
- [5] Rui Zhang, Yunxing Zhang, Xuelong Li, Graph Convolutional Auto-encoder with Bi-decoder and Adaptive-sharing Adjacency, arXiv, 2020.
- [6] Chen, Y., Rohrbach, M., Yan, Z., Yan, S., Feng, J., & Kalantidis, Y., Graph based global reasoning networks. In CVPR, 2019.
- [7] G. Te, Y. Liu, W. Hu, H. Shi, and T. Mei, “Edge-aware graph representation learning and reasoning for face parsing,” in European Conference on Computer Vision. Springer, Cham, 2020, pp. 258–274.
- [8] Qiu, Z.; Qiu, K.; Fu, J.; and Fu, D. 2020. DGCN: Dynamic Graph Convolutional Network for Efficient Multi-Person Pose Estimation. In AAAI, 11924–11931, 2020.

---

# Thank you